

(19) 日本国特許庁(JP)

(12) 特許公報(B2)

(11) 特許番号

特許第4899176号
(P4899176)

(45) 発行日 平成24年3月21日(2012.3.21)

(24) 登録日 平成24年1月13日(2012.1.13)

(51) Int.Cl.

G O 1 C 13/00 (2006.01)

F I

G O 1 C 13/00

W

請求項の数 6 (全 25 頁)

(21) 出願番号 特願2005-272768 (P2005-272768)
 (22) 出願日 平成17年9月20日 (2005.9.20)
 (65) 公開番号 特開2007-85795 (P2007-85795A)
 (43) 公開日 平成19年4月5日 (2007.4.5)
 審査請求日 平成20年7月11日 (2008.7.11)

(73) 特許権者 502116922
 ユニバーサル造船株式会社
 神奈川県川崎市幸区大宮町1310番地
 (73) 特許権者 501204525
 独立行政法人海上技術安全研究所
 東京都三鷹市新川6丁目38番1号
 (74) 代理人 100085198
 弁理士 小林 久夫
 (74) 代理人 100098604
 弁理士 安島 清
 (74) 代理人 100061273
 弁理士 佐々木 宗治
 (74) 代理人 100070563
 弁理士 大村 昇

最終頁に続く

(54) 【発明の名称】波浪特性測定方法及びその装置

(57) 【特許請求の範囲】

【請求項1】

(a) 船首水面下の船体外板表面の、ほぼ船体中心線上の位置と、左舷及び右舷の前記船体中心線からほぼ等間隔となる位置とに複数の圧力計が配置された模型船を用いた水槽試験又は理論計算により、喫水及び流入角度(θ)に対する前記複数の圧力計の計測値(P_c 、 P_p 、 P_s)に基づいて、

前記流入角度(θ)に対する第1の演算値 ($(P_p - P_s) / (P_c - P_s)$)を求めて第1の特性曲線を喫水ごとに求めるとともに、

前記流入角度(θ)に対する第2の演算値 ($(P_c - P_s) / U^2$ 、但し、 U は水の密度、 U は対水船速である)を求めて第2の特性曲線を喫水ごとに求める工程と、

(b) 船首水面下の船体外板表面の、ほぼ船体中心線上の位置と、左舷及び右舷の前記船体中心線からほぼ等間隔となる位置とに複数の圧力計が配置された実船の圧力計の計測値(P_c 、 P_p 、 P_s)と、水の密度(ρ)と、前記第1の特性曲線及び前記第2の特性曲線に基づいて対水船速(U)を算出する工程と、

(c) 前記実船のほぼ船体中心線上の位置に配置された前記圧力計の計測値($p(t)$)を用いて次式により相対水位変動($Z_r(t)$)を求める工程と、

【数3】

$$Z_r(t) = p(t) / \rho g \quad \cdots \text{ (式3)}$$

但し、 ρ は水の密度、 g は重力加速度である。

- (d) 前記実船に配置された上下加速度計の出力に基づいて上下変位量を求め、前記上下変動量と前記相対水位変動とにに基づいて絶対水位変動($\zeta(t)$)を求める工程と、
 (e) 前記絶対水位変動($\zeta(t)$)を用いて次式により出会い波スペクトル($S(\omega_e)$)を求める工程と、

【数7】

$$C(\tau) = \lim_{T \rightarrow \infty} \frac{1}{T} \int_{-T/2}^{T/2} \zeta(t) \zeta(t + \tau) dt \quad \cdots \text{ (式7)}$$

【数8】

$$S(\omega_e) = \frac{1}{\pi} \int_{-\infty}^{\infty} C(\tau) \exp[-i\omega_e \tau] d\tau \quad \cdots \text{ (式8)}$$

- (f) 前記出会い波スペクトル($S(\omega_e)$)と、前記対水船速(U)と、別途求められた波出会い角(χ)とを用いて次式により波スペクトル($S(\omega)$)を求める工程と、を備えたことを特徴とする波浪特性測定方法。

【数9】

$$S(\omega) = \sqrt{1 - \frac{4|U \cos \chi|}{g}} \omega_e \cdot S(\omega_e) \quad \cdots \text{ (式9)}$$

但し、出会い波周波数 ω_e と波周波数 ω の関係は次式のとおりであり、 U は対水船速、 λ は波長、 χ は船と波との出会い角である。

【数10】

$$\omega_e = |\omega - KU \cos \chi| \quad \cdots \text{ (式10)}$$

【数11】

$$\omega = \sqrt{gK} \quad \cdots \text{ (式11)}$$

【数12】

$$K = 2\pi/\lambda \quad \cdots \text{ (式12)}$$

【請求項2】

- (a) 船首水面下の船体外板表面の、ほぼ船体中心線上の位置と、左舷及び右舷の前記船体中心線からほぼ等間隔となる位置とに複数の圧力計が配置された模型船を用いた水槽試験又は理論計算により、喫水及び流入角度(θ)に対する前記複数の圧力計の計測値(P_c 、 P_p 、 P_s)に基づいて、

前記流入角度(θ)に対する第1の演算値($(P_p - P_s) / (P_c - P_s)$)を求めて第1の特性曲線を喫水ごとに求めるとともに、

前記流入角度(θ)に対する第2の演算値($(P_c - P_s) / U^2$)、但し、 ρ は水の密度、 U は対水船速である)を求めて第2の特性曲線を喫水ごとに求める工程と、

- (b) 船首水面下の船体外板表面の、ほぼ船体中心線上の位置と、左舷及び右舷の前記船体中心線からほぼ等間隔となる位置とに複数の圧力計が配置された実船の圧力計の計測値(P_c 、 P_p 、 P_s)と、水の密度(ρ)と、前記第1の特性曲線及び前記第2の特性曲線とにに基づいて対水船速(U)を算出する工程と、

(c) 前記実船のほぼ船体中心線上の位置に配置された前記圧力計の計測値($p(t)$)

を用いて次式により出会い圧力スペクトル ($S_p(\cdot)$) を求める工程と、
【数 7 a】

$$C(\tau) = \lim_{T \rightarrow \infty} \frac{1}{T} \int_{-T/2}^{T/2} p(t)p(t+\tau)dt \quad \cdots \text{ (式 7') }$$

【数 8 a】

$$Sp(\omega_e) = \frac{1}{\pi} \int_{-\infty}^{\infty} C(\tau) \exp[-i\omega_e \tau] d\tau \quad \cdots \text{ (式 8') }$$

(d) 前記対水船速 (U) 及び別途求められた波出会い角 (χ) を関数とする圧力周波数応答関数と、前記出会い圧力スペクトル ($S_p(\cdot)$) とを用いて次式により出会い波スペクトル ($S(\cdot)$) を求める工程と、

【数 15】

$$S(\omega_e) = S_p(\omega_e) / |H_p(\omega_e; U, \chi)|^2 \quad \cdots \text{ (式 15) }$$

但し、 $H_p(\cdot; U, \cdot)$ は、圧力計位置における圧力の周波数応答関数であり、対水船速 (U) 及び波出会い角 (χ) をパラメータとして理論計算又は模型試験により求められる。

(e) 前記出会い波スペクトル ($S(\cdot)$) と、前記対水船速 (U) と、前記波出会い角 (χ) とを用いて次式により波スペクトル ($S(\cdot)$) を求める工程と、
を備えたことを特徴とする波浪特性測定方法。

【数 9】

$$S(\omega) = \sqrt{1 + \frac{4|U \cos \chi|}{g}} \omega_e \cdot S(\omega_e) \quad \cdots \text{ (式 9) }$$

但し、出会い波周波数 ω と波周波数 ω_e の関係は次式のとおりであり、 U は対水船速、
は波長、 χ は船と波との出会い角である。

【数 10】

$$\omega_e = |\omega - KU \cos \chi| \quad \cdots \text{ (式 10) }$$

【数 11】

$$\omega = \sqrt{gK} \quad \cdots \text{ (式 11) }$$

【数 12】

$$K = 2\pi/\lambda \quad \cdots \text{ (式 12) }$$

【請求項 3】

(a) 船首水面下の船体外板表面の、ほぼ船体中心線上の位置と、左舷及び右舷の前記船 50

体中心線からほぼ等間隔となる位置とに複数の圧力計が配置された模型船を用いた水槽試験又は理論計算により、喫水及び流入角度（ θ ）に対する前記複数の圧力計の計測値（ P_c 、 P_p 、 P_s ）に基づいて、

前記流入角度（ θ ）に対する第1の演算値（ $(P_p - P_s) / (P_c - P_s)$ ）を求めて第1の特性曲線を喫水ごとに求めるとともに、

前記流入角度（ θ ）に対する第2の演算値（ $(P_c - P_s) / U^2$ 、但し、 U は水の密度、 U は対水船速である）を求めて第2の特性曲線を喫水ごとに求める工程と、

(b) 船首水面下の船体外板表面の、ほぼ船体中心線上の位置と、左舷及び右舷の前記船体中心線からほぼ等間隔となる位置とに複数の圧力計が配置された実船の圧力計の計測値（ P_c 、 P_p 、 P_s ）と、水の密度（ ρ ）と、前記第1の特性曲線及び前記第2の特性曲線とに基づいて対水船速（ U ）を算出する工程と、

(c) 前記実船のほぼ船体中心線上の位置に配置された前記圧力計の計測値と、前記実船の左舷及び右舷にそれぞれ配置された複数の圧力計の計測値とに基づいて圧力クロススペクトル（ $S_{mn}(\theta)$ ）を求める工程と、

(d) 前記対水船速（ U ）を関数とする圧力周波数応答関数と、前記圧力クロススペクトル（ $S_{mn}(\theta)$ ）とを用いて次式により方向波スペクトル（ $E(\theta, \omega_e)$ ）を求める工程と、

を備えたことを特徴とする波浪特性測定方法。

【数16】

$$S_{mn}(\omega_e) = \int_{-\pi}^{\pi} H_{pm}(\omega_e, \chi) H_{pn}^*(\omega_e, \chi) E(\omega_e, \chi) d\chi \quad \dots \text{ (式16)}$$

但し、 $H_{pm}(\theta, \omega_e)$ は、圧力計位置における圧力の周波数応答関数であり、対水船速（ U ）及び波出会角（ θ ）をパラメータとして理論計算又は模型試験により求められる。

【請求項4】

実船の船首水面下の船体外板表面の、ほぼ船体中心線上の位置と、左舷及び右舷の前記船体中心線からほぼ等間隔となる位置とに配置された複数の圧力計と、

実船の船首水面下の船体外板表面のほぼ船体中心線上の位置に配置された上下加速度計と、

波スペクトルを求める処理を行う制御部と
を備え、

前記制御部は、

(a) 船首水面下の船体外板表面の、ほぼ船体中心線上の位置と、左舷及び右舷の前記船体中心線からほぼ等間隔となる位置とに複数の圧力計が配置された模型船を用いた水槽試験又は理論計算により、喫水及び流入角度（ θ ）に対する前記複数の圧力計の計測値（ P_c 、 P_p 、 P_s ）に基づいて、

前記流入角度（ θ ）に対する第1の演算値（ $(P_p - P_s) / (P_c - P_s)$ ）を求めて第1の特性曲線を喫水ごとに求めるとともに、

前記流入角度（ θ ）に対する第2の演算値（ $(P_c - P_s) / U^2$ 、但し、 U は水の密度、 U は対水船速である）を求めて第2の特性曲線を喫水ごとに求める処理と、

(b) 実船の圧力計の計測値（ P_c 、 P_p 、 P_s ）と、水の密度（ ρ ）と、前記第1の特性曲線及び前記第2の特性曲線とに基づいて対水船速（ U ）を算出する処理と、

(c) 前記実船の船体中心線上の位置に配置された前記圧力計の計測値（ $p(t)$ ）を用いて次式により相対水位変動（ $Z(t)$ ）を求める処理と、

【数3】

$$Z_r(t) = p(t)/\rho g \quad \dots \text{ (式3)}$$

但し、 ρ は水の密度、 g は重力加速度である。

(d) 前記実船の上下加速度計の出力に基づいて上下変位量を求め、前記上下変動量と前記相対水位変動とにに基づいて絶対水位変動($\zeta(t)$)を求める処理と、

(e) 前記絶対水位変動($\zeta(t)$)を用いて次式により出会い波スペクトル($S(\omega_e)$)を求める処理と、

【数7】

10

$$C(\tau) = \lim_{T \rightarrow \infty} \frac{1}{T} \int_{-T/2}^{T/2} \zeta(t) \zeta(t + \tau) dt \quad \dots \text{ (式7)}$$

【数8】

$$S(\omega_e) = \frac{1}{\pi} \int_{-\infty}^{\infty} C(\tau) \exp[-i\omega_e \tau] d\tau \quad \dots \text{ (式8)}$$

(f) 前記出会い波スペクトル($S(\omega_e)$)と、前記対水船速(U)と、別途求められた波出会い角(χ)とを用いて次式により波スペクトル($S(\omega)$)を求める処理と、

20

を行うことを特徴とする波浪特性測定装置。

【数9】

$$S(\omega) = \sqrt{1 - \frac{4|U \cos \chi|}{g}} \omega_e \cdot S(\omega_e) \quad \dots \text{ (式9)}$$

但し、出会い波周波数 ω_e と波周波数 ω の関係は次式のとおりであり、 U は対水船速、
は波長、 λ は船と波との出会い角である。

30

【数10】

$$\omega_e = |\omega - KU \cos \chi| \quad \dots \text{ (式10)}$$

【数11】

$$\omega = \sqrt{gK} \quad \dots \text{ (式11)}$$

【数12】

40

$$K = 2\pi/\lambda \quad \dots \text{ (式12)}$$

【請求項5】

実船の船首水面下の船体外板表面の、ほぼ船体中心線上の位置と、左舷及び右舷の前記船体中心線からほぼ等間隔となる位置とに配置された複数の圧力計と、

実船の船首水面下の船体外板表面のほぼ船体中心線上の位置に配置された上下加速度計と、

波スペクトルを求める処理を行う制御部と
を備え、

50

前記制御部は、

(a) 船首水面下の船体外板表面の、ほぼ船体中心線上の位置と、左舷及び右舷の前記船体中心線からほぼ等間隔となる位置とに複数の圧力計が配置された模型船を用いた水槽試験又は理論計算により、喫水及び流入角度()に対する前記複数の圧力計の計測値(P_c、P_p、P_s)に基づいて、

前記流入角度()に対する第1の演算値((P_p - P_s) / (P_c - P_s))を求めて第1の特性曲線を喫水ごとに求めるとともに、

前記流入角度()に対する第2の演算値((P_c - P_s) / U²)、但し、Uは水の密度、Uは対水船速である)を求めて第2の特性曲線を喫水ごとに求める処理と、

(b) 実船の圧力計の計測値(P_c、P_p、P_s)と、水の密度()と、前記第1の特性曲線及び前記第2の特性曲線とに基づいて対水船速(U)を算出する処理と、

(c) 前記実船の船体中心線上の位置に配置された前記圧力計の計測値(p(t))を用いて次式により出会い圧力スペクトル(S_p())を求める処理と、

【数7 a】

$$C(\tau) = \lim_{T \rightarrow \infty} \frac{1}{T} \int_{-T/2}^{T/2} p(t)p(t+\tau)dt \quad \dots \text{(式7')}$$

【数8 a】

$$Sp(\omega_e) = \frac{1}{\pi} \int_{-\infty}^{\infty} C(\tau) \exp[-i\omega_e \tau] d\tau \quad \dots \text{(式8')}$$

(d) 前記対水船速(U)及び別途求められた波出会い角()を関数とする圧力周波数応答関数と、前記出会い圧力スペクトル(S_p())とを用いて次式により出会い波スペクトル(S())を求める処理と、

【数15】

$$S(\omega_e) = S_p(\omega_e) / |H_p(\omega_e; U, \chi)|^2 \quad \dots \text{(式15)}$$

但し、H_p(; U ,)は、圧力計位置における圧力の周波数応答関数であり、対水船速(U)及び波出会い角()をパラメータとして理論計算又は模型試験により求められる。

(e) 前記出会い波スペクトル(S())と、前記対水船速(U)と、前記波出会い角()とを用いて次式により波スペクトル(S())を求める処理と、
を行うことを特徴とする波浪特性測定装置。

【数9】

$$S(\omega) = \sqrt{1 + \frac{4|U \cos \chi|}{g}} \omega_e \cdot S(\omega_e) \quad \dots \text{(式9)}$$

但し、出会い波周波数()と波周波数()の関係は次式のとおりであり、Uは対水船速、
は波長、は船と波との出会い角である。

【数10】

$$\omega_e = |\omega - KU \cos \chi| \quad \dots \text{(式10)}$$

【数11】

$$\omega = \sqrt{gK} \quad \cdots \text{(式11)}$$

【数12】

$$K = 2\pi/\lambda \quad \cdots \text{(式12)}$$

【請求項6】

実船の船首水面下の船体外板表面の、ほぼ船体中心線上の位置と、左舷及び右舷の前記
10
船体中心線からほぼ等間隔となる位置とに配置された複数の圧力計と、

実船の船首水面下の船体外板表面のほぼ船体中心線上の位置に配置された上下加速度計
と、

方向波スペクトルを求める処理を行う制御部と
を備え、

前記制御部は、

(a) 船首水面下の船体外板表面の、ほぼ船体中心線上の位置と、左舷及び右舷の前記船
20
体中心線からほぼ等間隔となる位置とに複数の圧力計が配置された模型船を用いた水槽試
験又は理論計算により、喫水及び流入角度()に対する前記複数の圧力計の計測値(P
c、Pp、Ps)に基づいて、

前記流入角度()に対する第1の演算値((Pp - Ps) / (Pc - Ps))を求めて第1の特性曲線を喫水ごとに求めるとともに、

前記流入角度()に対する第2の演算値((Pc - Ps) / U²、但し、Uは水の
密度、Uは対水船速である)を求めて第2の特性曲線を喫水ごとに求める処理と、

(b) 実船の圧力計の計測値(Pc、Pp、Ps)と、水の密度()と、前記第1の特性曲線及び前記第2の特性曲線とに基づいて対水船速(U)を算出する処理と、

(c) 前記実船のほぼ船体中心線上の位置に配置された圧力計の計測値と、前記実船の左
舷及び右舷にそれぞれ配置された複数の圧力計の計測値とに基づいて圧力クロススペクト
ル(S_{mn}())を求める処理と、

(d) 前記対水船速(U)を関数とする圧力周波数応答関数と、前記圧力クロススペクト
ル(S_{mn}())とに基づいて方向波スペクトル(E(,))を求める処理と、
30
を行うことを特徴とする波浪特性測定装置。

【数16】

$$S_{mn}(\omega_e) = \int_{-\pi}^{\pi} H_{pm}(\omega_e, \chi) H_{pn}^*(\omega_e, \chi) E(\omega_e, \chi) d\chi \quad \cdots \text{(式16)}$$

但し、H_{pm}(,)は、圧力計位置における圧力の周波数応答関数であり、対水船
速(U)及び波出会い角()をパラメータとして理論計算又は模型試験により求められる
。

【発明の詳細な説明】

【技術分野】

【0001】

本発明は波浪特性測定方法及びその装置に関し、特に、船体の船首に設置された圧力計
の計測値に基づいて船速を求めるとともに、圧力変動を解析することにより波浪特性を求
めるための演算処理に関する。

【背景技術】

【0002】

従来、波高等の波浪特性を計測する装置としては、例えば「船首の上下加速度センサ1
の信号に基づき船首の上下変位を演算する装置3と、同装置3からの信号と波高計2から
50

の信号を受けて絶対波高を演算する装置4と、同装置4からの信号を一定時間蓄積してパワースペクトラムを演算する装置5と、自船の方位から波向を設定することにより波出会い角を演算する装置6と、同装置6で演算された出会い波角を用いて、パワースペクトラム演算装置5から得られた出会い周波数ベースのパワースペクトラムを波周波数ベースに変換する装置7と、同装置7からの出力信号を受けて有義波高および平均波周期を同定する装置8と、同装置8からの信号に基づき、平均波々長、スペクトラムピークの波長および周波数を演算する最終演算装置9とをそなえて構成される。」ものが提案されている（特許文献1参照）。

【特許文献1】特開平06-273198号公報（要約、図1）

【発明の開示】

【発明が解決しようとする課題】

【0003】

上記の従来技術（特許文献1）では、波高計と上下加速度計から求めた波高計位置における上下動揺から絶対波高の波スペクトルを求めており、これに波向と船速の値を与えることによって波スペクトルを求めているが、ここで船速は別に何らかの方法で求めて入力する必要がある、という問題点があった。

【0004】

本発明は、このような問題点を解決するためになされたものであり、船体の船首に設置された圧力計による計測値に基づいて船速を求めるとともに、圧力変動を解析することにより波浪特性を求ることを可能にした波浪特性測定方法及びその装置を提供することを目的とする。

【課題を解決するための手段】

【0005】

本発明に係る波浪特性測定方法は、次の（a）～（f）の工程を備える。

（a）船首水面下の船体外板表面の、ほぼ船体中心線上の位置と、左舷及び右舷の前記船体中心線からほぼ等間隔となる位置とに複数の圧力計が配置された模型船を用いた水槽試験又は理論計算により、喫水及び流入角度（ θ ）に対する前記複数の圧力計の計測値（ P_c 、 P_p 、 P_s ）に基づいて、

前記流入角度（ θ ）に対する第1の演算値 $((P_p - P_s) / (P_c - P_s))$ を求めて第1の特性曲線を喫水ごとに求るとともに、

前記流入角度（ θ ）に対する第2の演算値 $((P_c - P_s) / U^2)$ 、但し、 U は水の密度、 U は対水船速である）を求めて第2の特性曲線を喫水ごとに求める工程。

（b）船首水面下の船体外板表面の、ほぼ船体中心線上の位置と、左舷及び右舷の前記船体中心線からほぼ等間隔となる位置とに複数の圧力計が配置された実船の圧力計の計測値（ P_c 、 P_p 、 P_s ）と、水の密度（ ρ ）と、前記第1の特性曲線及び前記第2の特性曲線に基づいて対水船速（ U ）を算出する工程。

（c）前記実船のほぼ船体中心線上の位置に配置された前記圧力計の計測値 $(p(t))$ を用いて次式により相対水位変動（ $Z_r(t)$ ）を求める工程。

【数3】

$$Z_r(t) = p(t)/\rho g \quad \cdots \text{ (式3)}$$

但し、 ρ は水の密度、 g は重力加速度である。

（d）前記実船に配置された上下加速度計の出力に基づいて上下変位量を求め、前記上下変位量と前記相対水位変動とに基づいて絶対水位変動（ $Z(t)$ ）を求める工程。

（e）前記絶対水位変動（ $Z(t)$ ）を用いて次式により出会い波スペクトル（ $S(\omega)$ ）を求める工程。

【数7】

$$C(\tau) = \lim_{T \rightarrow \infty} \frac{1}{T} \int_{-T/2}^{T/2} \zeta(t) \zeta(t + \tau) dt \quad \cdots \text{ (式7)}$$

【数8】

$$S(\omega_e) = \frac{1}{\pi} \int_{-\infty}^{\infty} C(\tau) \exp[-i\omega_e \tau] d\tau \quad \cdots \text{ (式8)}$$

(f) 前記出会い波スペクトル ($S(\cdot)$) と、前記対水船速 (U) と、別途求められた波出会い角 (χ) を用いて次式により波スペクトル ($S(\cdot)$) を求める工程。

【数9】

$$S(\omega) = \sqrt{1 - \frac{4|U \cos \chi|}{g}} \omega_e \cdot S(\omega_e) \quad \cdots \text{ (式9)}$$

但し、出会い波周波数 ω_e と波周波数 ω の関係は次式のとおりであり、 U は対水船速、
は波長、 λ は船と波との出会い角である。

【数10】

$$\omega_e = |\omega - KU \cos \chi| \quad \cdots \text{ (式10)}$$

【数11】

$$\omega = \sqrt{gK} \quad \cdots \text{ (式11)}$$

【数12】

$$K = 2\pi/\lambda \quad \cdots \text{ (式12)}$$

【0006】

本発明に係る波浪特性測定方法は、次の(a)～(e)の工程を備える。

(a) 船首水面下の船体外板表面の、ほぼ船体中心線上の位置と、左舷及び右舷の前記船体中心線からほぼ等間隔となる位置とに複数の圧力計が配置された模型船を用いた水槽試験又は理論計算により、喫水及び流入角度 (θ) に対する前記複数の圧力計の計測値 (P_c 、 P_p 、 P_s) に基づいて、

前記流入角度 (θ) に対する第1の演算値 ($(P_p - P_s) / (P_c - P_s)$) を求めて第1の特性曲線を喫水ごとに求めるとともに、

前記流入角度 (θ) に対する第2の演算値 ($(P_c - P_s) / U^2$ 、但し、 U は水の密度、 U は対水船速である) を求めて第2の特性曲線を喫水ごとに求める工程。

(b) 船首水面下の船体外板表面の、ほぼ船体中心線上の位置と、左舷及び右舷の前記船体中心線からほぼ等間隔となる位置とに複数の圧力計が配置された実船の圧力計の計測値 (P_c 、 P_p 、 P_s) と、水の密度 (ρ) と、前記第1の特性曲線及び前記第2の特性曲線とに基づいて対水船速 (U) を算出する工程。

(c) 前記実船のほぼ船体中心線上の位置に配置された前記圧力計の計測値 ($p(t)$) を用いて次式により出会い圧力スペクトル ($S_p(\cdot)$) を求める工程。

【数 7 a】

$$C(\tau) = \lim_{T \rightarrow \infty} \frac{1}{T} \int_{-T/2}^{T/2} p(t)p(t+\tau)dt \quad \dots \text{ (式 7') }$$

【数 8 a】

$$Sp(\omega_e) = \frac{1}{\pi} \int_{-\infty}^{\infty} C(\tau) \exp[-i\omega_e \tau] d\tau \quad \dots \text{ (式 8') }$$

(d) 前記対水船速 (U) 及び別途求められた波出会い角 () を関数とする圧力周波数応答関数と、前記出会い圧力スペクトル (S_p()) とを用いて次式により出会い波スペクトル (S()) を求める工程。

【数 15】

$$S(\omega_e) = S_p(\omega_e) / |H_p(\omega_e; U, \chi)|^2 \quad \dots \text{ (式 15) }$$

但し、H_p(; U,) は、圧力計位置における圧力の周波数応答関数であり、対水船速 (U) 及び波出会い角 () をパラメータとして理論計算又は模型試験により求められる。 20

(e) 前記出会い波スペクトル (S()) と、前記対水船速 (U) と、前記波出会い角 () とを用いて次式により波スペクトル (S()) を求める工程。

【数 9】

$$S(\omega) = \sqrt{1 + \frac{4|U \cos \chi|}{g}} \omega_e \cdot S(\omega_e) \quad \dots \text{ (式 9) }$$

但し、出会い波周波数 ω と波周波数 ω の関係は次式のとおりであり、U は対水船速、30
は波長、χ は船と波との出会い角である。

【数 10】

$$\omega_e = |\omega - KU \cos \chi| \quad \dots \text{ (式 10) }$$

【数 11】

$$\omega = \sqrt{gK} \quad \dots \text{ (式 11) }$$

【数 12】

$$K = 2\pi/\lambda \quad \dots \text{ (式 12) }$$

【0007】

本発明に係る波浪特性測定方法は、次の(a)～(d)の工程を備える。

(a) 船首水面下の船体外板表面の、ほぼ船体中心線上の位置と、左舷及び右舷の前記船体中心線からほぼ等間隔となる位置とに複数の圧力計が配置された模型船を用いた水槽試験又は理論計算により、喫水及び流入角度 () に対する前記複数の圧力計の計測値 (P_c、P_p、P_s) に基づいて、

前記流入角度 () に対する第 1 の演算値 ((P_p - P_s) / (P_c - P_s)) を求め 50

て第1の特性曲線を喫水ごとに求めるとともに、

前記流入角度()に対する第2の演算値((Pc - Ps) / U²)、但し、Uは水の密度、Uは対水船速である)を求めて第2の特性曲線を喫水ごとに求める工程。

(b) 船首水面下の船体外板表面の、ほぼ船体中心線上の位置と、左舷及び右舷の前記船体中心線からほぼ等間隔となる位置とに複数の圧力計が配置された実船の圧力計の計測値(Pc、Pp、Ps)と、水の密度()と、前記第1の特性曲線及び前記第2の特性曲線に基づいて対水船速(U)を算出する工程。

(c) 前記実船のほぼ船体中心線上の位置に配置された前記圧力計の計測値と、前記実船の左舷及び右舷にそれぞれ配置された複数の圧力計の計測値に基づいて圧力クロススペクトル(S_{mn}())を求める工程。

(d) 前記対水船速(U)を関数とする圧力周波数応答関数と、前記圧力クロススペクトル(S_{mn}())とを用いて次式により方向波スペクトル(E(,))を求める工程。

【数16】

$$S_{mn}(\omega_e) = \int_{-\pi}^{\pi} H_{pm}(\omega_e, \chi) H_{pn}^*(\omega_e, \chi) E(\omega_e, \chi) d\chi \quad \cdots \text{ (式16)}$$

但し、H_{pm}(,)は、圧力計位置における圧力の周波数応答関数であり、対水船速(U)及び波出会い角()をパラメータとして理論計算又は模型試験により求められる。

【0008】

本発明に係る波浪特性測定装置は、実船の船首水面下の船体外板表面の、ほぼ船体中心線上の位置と、左舷及び右舷の前記船体中心線からほぼ等間隔となる位置とに配置された複数の圧力計と、実船の船首水面下の船体外板表面のほぼ船体中心線上の位置に配置された上下加速度計と、波スペクトルを求める処理を行う制御部とを備え、

前記制御部は、

(a) 船首水面下の船体外板表面の、ほぼ船体中心線上の位置と、左舷及び右舷の前記船体中心線からほぼ等間隔となる位置とに複数の圧力計が配置された模型船を用いた水槽試験又は理論計算により、喫水及び流入角度()に対する前記複数の圧力計の計測値(Pc、Pp、Ps)に基づいて、

前記流入角度()に対する第1の演算値((Pp - Ps) / (Pc - Ps))を求めて第1の特性曲線を喫水ごとに求めるとともに、

前記流入角度()に対する第2の演算値((Pc - Ps) / U²)、但し、Uは水の密度、Uは対水船速である)を求めて第2の特性曲線を喫水ごとに求める処理と、

(b) 実船の圧力計の計測値(Pc、Pp、Ps)と、水の密度()と、前記第1の特性曲線及び前記第2の特性曲線に基づいて対水船速(U)を算出する処理と、

(c) 前記実船の船体中心線上の位置に配置された前記圧力計の計測値(p(t))を用いて次式により相対水位変動(Z_r(t))を求める処理と、

【数3】

$$Z_r(t) = p(t) / \rho g \quad \cdots \text{ (式3)}$$

但し、ρは水の密度、gは重力加速度である。

(d) 前記実船の上下加速度計の出力に基づいて上下変位量を求め、前記上下変動量と前記相対水位変動とに基づいて絶対水位変動(z(t))を求める処理と、

(e) 前記絶対水位変動(z(t))を用いて次式により出会い波スペクトル(S())を求める処理と、

10

20

30

【数7】

$$C(\tau) = \lim_{T \rightarrow \infty} \frac{1}{T} \int_{-T/2}^{T/2} \zeta(t) \zeta(t + \tau) dt \quad \cdots \text{ (式7)}$$

【数8】

$$S(\omega_e) = \frac{1}{\pi} \int_{-\infty}^{\infty} C(\tau) \exp[-i\omega_e \tau] d\tau \quad \cdots \text{ (式8)}$$

(f) 前記出会い波スペクトル($S(\cdot)$)と、前記対水船速(U)と、別途求められた波出会い角(χ)とを用いて次式により波スペクトル($S(\cdot)$)を求める処理と、
を行う。

【数9】

$$S(\omega) = \sqrt{1 - \frac{4|U \cos \chi|}{g}} \omega_e \cdot S(\omega_e) \quad \cdots \text{ (式9)}$$

但し、出会い波周波数 ω_e と波周波数 ω の関係は次式のとおりであり、 U は対水船速、
は波長、 λ は船と波との出会い角である。 20

【数10】

$$\omega_e = |\omega - KU \cos \chi| \quad \cdots \text{ (式10)}$$

【数11】

$$\omega = \sqrt{gK} \quad \cdots \text{ (式11)}$$

【数12】

$$K = 2\pi/\lambda \quad \cdots \text{ (式12)}$$

【0009】

本発明に係る波浪特性測定装置は、実船の船首水面下の船体外板表面の、ほぼ船体中心線上の位置と、左舷及び右舷の前記船体中心線からほぼ等間隔となる位置とに配置された複数の圧力計と、実船の船首水面下の船体外板表面のほぼ船体中心線上の位置に配置された上下加速度計と、波スペクトルを求める処理を行う制御部とを備え、

前記制御部は、

(a) 船首水面下の船体外板表面の、ほぼ船体中心線上の位置と、左舷及び右舷の前記船体中心線からほぼ等間隔となる位置とに複数の圧力計が配置された模型船を用いた水槽試験又は理論計算により、喫水及び流入角度(θ)に対する前記複数の圧力計の計測値(P_c 、 P_p 、 P_s)に基づいて、 40

前記流入角度(θ)に対する第1の演算値($(P_p - P_s) / (P_c - P_s)$)を求めて第1の特性曲線を喫水ごとに求めるとともに、

前記流入角度(θ)に対する第2の演算値($(P_c - P_s) / U$ 、但し、 U は水の密度、 U は対水船速である)を求めて第2の特性曲線を喫水ごとに求める処理と、

(b) 実船の圧力計の計測値(P_c 、 P_p 、 P_s)と、水の密度(ρ)と、前記第1の特性曲線及び前記第2の特性曲線とに基づいて対水船速(U)を算出する処理と、

(c) 前記実船の船体中心線上の位置に配置された前記圧力計の計測値($p(t)$)を用 50

いて次式により出会い圧力スペクトル ($S_p(\omega_e)$) を求める処理と、

【数 7 a】

$$C(\tau) = \lim_{T \rightarrow \infty} \frac{1}{T} \int_{-T/2}^{T/2} p(t)p(t+\tau)dt \quad \cdots (\text{式 } 7')$$

【数 8 a】

$$Sp(\omega_e) = \frac{1}{\pi} \int_{-\infty}^{\infty} C(\tau) \exp[-i\omega_e \tau] d\tau \quad \cdots (\text{式 } 8')$$

(d) 前記対水船速 (U) 及び別途求められた波出会い角 (χ) を関数とする圧力周波数応答関数と、前記出会い圧力スペクトル ($S_p(\omega_e)$) とを用いて次式により出会い波スペクトル ($S(\omega_e)$) を求める処理と、

【数 15】

$$S(\omega_e) = S_p(\omega_e) / |H_p(\omega_e; U, \chi)|^2 \quad \cdots (\text{式 } 15)$$

但し、 $H_p(\omega_e; U, \chi)$ は、圧力計位置における圧力の周波数応答関数であり、対水船速 (U) 及び波出会い角 (χ) をパラメータとして理論計算又は模型試験により求められる。

20

(e) 前記出会い波スペクトル ($S(\omega_e)$) と、前記対水船速 (U) と、前記波出会い角 (χ) とを用いて次式により波スペクトル ($S(\omega)$) を求める処理とを行う。

【数 9】

$$S(\omega) = \sqrt{1 + \frac{4|U \cos \chi|}{g}} \omega_e \cdot S(\omega_e) \quad \cdots (\text{式 } 9)$$

但し、出会い波周波数 ω_e と波周波数 ω の関係は次式のとおりであり、 U は対水船速、
は波長、 λ は船と波との出会い角である。

【数 10】

$$\omega_e = |\omega - KU \cos \chi| \quad \cdots (\text{式 } 10)$$

30

【数 11】

$$\omega = \sqrt{gK} \quad \cdots (\text{式 } 11)$$

【数 12】

$$K = 2\pi/\lambda \quad \cdots (\text{式 } 12)$$

【0010】

本発明に係る波浪特性測定装置は、実船の船首水面下の船体外板表面の、ほぼ船体中心線上の位置と、左舷及び右舷の前記船体中心線からほぼ等間隔となる位置とに配置された複数の圧力計と、実船の船首水面下の船体外板表面のほぼ船体中心線上の位置に配置された上下加速度計と、方向波スペクトルを求める処理を行う制御部とを備え、

前記制御部は、

(a) 船首水面下の船体外板表面の、ほぼ船体中心線上の位置と、左舷及び右舷の前記船体中心線からほぼ等間隔となる位置とに複数の圧力計が配置された模型船を用いた水槽試験又は理論計算により、喫水及び流入角度 (χ) に対する前記複数の圧力計の計測値 (P)

50

c 、 P_p 、 P_s)に基づいて、

前記流入角度()に対する第1の演算値($(P_p - P_s) / (P_c - P_s)$)を求めて第1の特性曲線を喫水ごとに求めるとともに、

前記流入角度()に対する第2の演算値($(P_c - P_s) / U^2$ 、但し、 U は水の密度、 U は対水船速である)を求めて第2の特性曲線を喫水ごとに求める処理と、

(b) 実船の圧力計の計測値(P_c 、 P_p 、 P_s)と、水の密度()と、前記第1の特性曲線及び前記第2の特性曲線とに基づいて対水船速(U)を算出する処理と、

(c) 前記実船のほぼ船体中心線上の位置に配置された圧力計の計測値と、前記実船の左舷及び右舷にそれぞれ配置された複数の圧力計の計測値とに基づいて圧力クロススペクトル($S_{mn}(\cdot, \cdot)$)を求める処理と、

(d) 前記対水船速(U)を関数とする圧力周波数応答関数と、前記圧力クロススペクトル($S_{mn}(\cdot, \cdot)$)とに基づいて方向波スペクトル($E(\cdot, \cdot)$)を求める処理とを行う。

【数16】

$$S_{mn}(\omega_e) = \int_{-\pi}^{\pi} H_{pm}(\omega_e, \chi) H_{pn}^*(\omega_e, \chi) E(\omega_e, \chi) d\chi \quad \dots \text{ (式16)}$$

但し、 $H_{pm}(\cdot, \cdot)$ は、圧力計位置における圧力の周波数応答関数であり、対水船速(U)及び波出会い角()をパラメータとして理論計算又は模型試験により求められる。
。

【発明の効果】

【0011】

以上のように、本発明においては、船体の船首に設置された圧力計による計測値に基づいて船速を求めるとともに、圧力変動を解析することにより波スペクトルを求めることを可能にしており、船速を別途求める必要がなく、装備の簡素化が図られる。

【発明を実施するための最良の形態】

【0012】

発明者らは、船首に複数の圧力計を設置し、それらの圧力計測値を解析することによって船体に流入する対水流速(= 対水船速) / 流向を求める測定方法を開発した。船舶は実海域では波浪中を航行することになるので、計測される圧力も波浪及びそれによる船体動揺によって時間的に変動する。船速はこれら変動量の平均値から求めることになるが、圧力変動量そのものから逆にその原因となる波浪を解析することが可能となる。波浪の解析が可能になると、平均(対水)船速と同時に入射波を確定することができる。

【0013】

ところで、ここで求まる波浪の波周期は船速の影響を受けた出会いの波周期である。例えば向波の場合には、船速の影響によって、出会いの波周期は短くなる。これを出会い波周期と言う。また、この出会い波周期に対応する波浪の不規則変動分布を出会い波スペクトルという。実際に求めたいのは船舶が遭遇している(船舶に入射してくる)波浪のスペクトル(船速影響が入らない状態の波スペクトル)であり、これは出会い波周期、波出会い角、対水船速が分かれば求めることができる。本発明によれば、出会い波周期、対水船速を求めることができるので、これらを用いて船舶が遭遇している波浪(波スペクトル)を特定することができる。

【0014】

以下の説明においては、本発明の基礎となっている圧力計の計測値に基づいて船速を求る例を実施形態1とし、その船速を利用して波スペクトル等を求める例を実施形態2~4として説明する。

【0015】

実施形態1.

本発明は、船体の船首に設置された圧力計による計測値に基づいて船速を求めることが

できるようになったということに基づいてなされたものであり、本発明の波浪特性計測装置の内、船速の測定に着目してそれを実施形態1として説明する。

【0016】

図1は本発明の基礎になっている船速測定装置の構成を示すブロック図である。この船速測定装置は、圧力センサ1₁～1₃、制御部2、記憶部3、表示部4及び操作部5から構成されている。なお、図1には上下加速度計6が図示されているが、これは後述の実施形態2において用いられるものであり、本実施形態1においては無視するものとする。

【0017】

圧力センサ1₁～1₃は、例えば、外形がステンレス製の埋め込み型や、圧電素子等の電子式のものからなり、それぞれ圧力計測値P₁、P₂及びP₃を制御部2に供給する。圧力センサ1₁～1₃の容量は、例えば、船速が10m/s(約20ノット相当)の場合、よどみ圧が約5.1maq=約50kpaであるので、約100kpa(1気圧相当でよどみ圧換算の船速約27ノット)であれば良い。図2に示すように、圧力センサ1₁は船首水面下の船体中心線(図2の破線参照)の近傍位置の船体外板表面に配置し、圧力センサ1₂及び1₃はそれぞれ船首水面下の左舷及び右舷の船体中心線からほぼ等間隔となる船体外板表面に配置する。

10

【0018】

制御部2は、CPU(中央処理装置)、デジタルシグナルプロセッサ(DSP)、シーケンサ等からなり、記憶部3に記憶されている、特性曲線作成プログラム、船速測定プログラム等に基づいて、特性曲線作成処理、船速測定処理等を実行することにより、船速測定装置の全体を制御する。すなわち、例えば、特性曲線作成プログラムが読み出されると、制御部2に読み込まれ、制御部2の動作を制御する。制御部2は、特性曲線作成プログラムが起動されると、特性曲線作成プログラムの制御により、後述する特性曲線作成処理を実行するのである。

20

【0019】

記憶部3は、RAM、ROM、あるいはフラッシュメモリ等の半導体メモリ、FD(フロッピー(登録商標)・ディスク)が装着されるFDドライブ、HD(ハード・ディスク)が装着されるHDドライブ、MO(光磁気)ディスクが装着されるMOディスクドライブ、あるいはCD(コンパクト・ディスク)-ROM、CD-R(Recordable)、CD-RW(ReWritable)やDVD-ROM、DVD-R、DVD-RW等が装着されるCD/DVDドライブ等からなる。記憶部3は、上記した制御部2が実行すべき特性曲線作成プログラム、船速測定プログラムその他の各種プログラムが予め記憶されているとともに、制御部2が上記した特性曲線作成プログラム、船速測定プログラムその他の各種プログラムを実行する際に作業用として用いられる。表示部4は、CRTディスプレイ、液晶ディスプレイ(LCD; Liquid Crystal Display)、エレクトロルミネンス(EL: Electroluminescence)ディスプレイ、あるいはプラズマディスプレイパネル(PDP; Plasma Display Panel)等からなる。操作部5は、テンキー、エンターキー、あるいはファンクションキー等からなるキーボードや、マウス、タッチパッド、あるいはペンデバイス等のポインティングデバイスなどを有する。

30

【0020】

次に、上記の船速測定装置の動作について説明する。まず、この例の船速測定装置を模型船に実装した水槽試験を予め実施することにより、この例の船速測定装置を実船に実装した際に用いる特性曲線を作成する。なお、船速測定装置を模型船に実装するとは、ここでは船速測定装置の内、圧力センサを実装することを意味し、他の機器は必ずしも搭載する必要はない。以下、上記した特性曲線の作成について、図3に示すフローチャートを参照して説明する。この例の船速測定装置が特性曲線作成モードに設定されると、制御部2は、喫水を変化させるべき回数である喫水変更数n(nは自然数)を設定するとともに、喫水変更数nをカウントするための変数kに1をセットする。また、検査者が操作部5を操作して入力した対水船速Uを記憶部3の所定の記憶領域に記憶する(ステップS1)。ここで、喫水を変化させるのは、圧力センサ1₁～1₃から出力される圧力計測値P₁、

40

50

P_1 及び P_2 が船舶の喫水変化による影響を受けるので、各喫水ごとの特性曲線を作成する必要があるためである。また、対水船速 U を設定するのは、制御部 2 が後述する特性曲線を作成する際に必要となるからである。

【0021】

次に、水槽において、その船首水面下の船体外板表面に図 2 に示されるように圧力センサ $1_1 \sim 1_3$ が最適配置位置に配置された模型船を斜航角をつけて一定速度で曳航する。斜航角は流入角度 α に相当し、速度はステップ S P 1 で設定した対水船速 U に相当する。これにより、圧力センサ $1_1 \sim 1_3$ から圧力計測値 P_1 、 P_2 及び P_3 が供給されるので、制御部 2 は、記憶部 3 の所定の記憶領域に記憶するとともに、表示部 4 に表示する（ステップ S P 2）。作成すべき特性曲線は、後述するように、流入角度 α の関数であるため、斜航角を、例えば、-30 度から +30 度まで 5 度おきに変化させて上記した模型船を一定速度で曳航する。したがって、制御部 2 は、各斜航角ごと、すなわち、各流入角度 α ごとの圧力センサ $1_1 \sim 1_3$ からの圧力計測値 P_1 、 P_2 及び P_3 を記憶部 3 の所定の記憶領域に記憶するとともに、表示部 4 に表示する。
10

【0022】

圧力センサ $1_1 \sim 1_3$ から各流入角度 α ごとの圧力計測値 P_1 、 P_2 及び P_3 がすべて供給されると、制御部 2 は、記憶部 3 の所定の記憶領域から各流入角度 α ごとの圧力計測値 P_1 、 P_2 及び P_3 と、対水船速 U とを読み出し、各流入角度 α ごとの値 $(P_1 - P_3) / (P_1 - P_2)$ 及び値 $(P_1 - P_3) / U^2$ を算出した後、記憶部 3 の所定の記憶領域に記憶するとともに、表示部 4 に表示する（ステップ S P 3）。
20 は水槽に満たされた水の密度である。値 $(P_1 - P_3) / (P_1 - P_2)$ は、この例の船速測定装置を実装した実船の実際の流入角度 α を算出するためのパラメータである。例えば、左舷からの流れに対しては値 $P_1 > P_3$ となり、 $(P_1 - P_3) > 0$ であるのに対し、右舷からの流れに対しては $P_1 < P_3$ となり、 $(P_1 - P_3) < 0$ である。また、値 $(P_1 - P_3) / U^2$ は、この例の船速測定装置を実装した実船の実際の対水船速 U を算出するためのパラメータである。なお、値 $(P_1 - P_3) / (P_1 - P_2)$ 及び値 $(P_1 - P_3) / U^2$ は、いずれも無次元（dimensionless）であるので、ある船舶が他の船舶と大きさは異なるが形状が同一である相似形である場合には、同一の値を用いることができる。

【0023】

次に、制御部 2 は、流入角度 α と値 $(P_1 - P_3) / (P_1 - P_2)$ との第 1 特性曲線を作成した後に、記憶部 3 の所定の記憶領域に記憶するとともに、表示部 4 に表示する（ステップ S P 4）。すなわち、制御部 2 は、記憶部 3 の所定の記憶領域から流入角度 α とそれに対応した値 $(P_1 - P_3) / (P_1 - P_2)$ とを読み出し、グラフの横軸に流入角度 α を、縦軸に値 $(P_1 - P_3) / (P_1 - P_2)$ を置点し、各点を接続することにより、図 4 に曲線 a で示す第 1 特性曲線を作成する。次に、制御部 2 は、流入角度 α と値 $(P_1 - P_3) / U^2$ との第 2 特性曲線を作成した後、記憶部 3 の所定の記憶領域に記憶するとともに、表示部 4 に表示する（ステップ S P 5）。すなわち、制御部 2 は、記憶部 3 の所定の記憶領域から流入角度 α とそれに対応した値 $(P_1 - P_3) / U^2$ を読み出し、グラフの横軸に流入角度 α を、縦軸に値 $(P_1 - P_3) / U^2$ を置点し、各点を接続することにより、図 4 に曲線 b で示す第 2 特性曲線を作成する。
30 40

【0024】

次に、制御部 2 は、変数 k に 1 をインクリメントした（ステップ S P 6）後、変数 k が喫水変更数 n より大きいか否か判断する。この判断結果が「NO」の場合には、制御部 2 は、ステップ S P 2 へ戻り、上記したステップ S P 2 ~ S P 6 の処理を繰り返す。そして、変数 k が喫水変更数 n より大きくなると、ステップ S P 7 の判断結果が「YES」となり、制御部 2 は、一連の処理を終了する。以上説明したステップ S P 2 ~ S P 5 の処理が n 回繰り返されることにより、各喫水ごとの第 1 特性曲線及び第 2 特性曲線が作成され、それぞれが記憶部 3 の所定の記憶領域に記憶されるとともに、表示部 4 に表示される。なお、第 1 特性曲線及び第 2 特性曲線は、多項式に当てはめることにより数式で表現することは可能である。
50

【 0 0 2 5 】

ここで、第1特性曲線及び第2特性曲線を作成する根拠について説明する。先端が球のような鈍い形状をした物体が水等の流れの中におかれると、水等の流れと真正面にある点では圧力が最も大きく、その点から離れるに従って急激に圧力が低下していくことが知られている。水等の流れと物体に加えられる圧力との関係は、球体のように構造的に単純な形状の物体の場合は理論的に数式で表すことができるが、船首の形状のような一般的な形状の物体では理論的に数式で表すことができない。そこで、実験又は数値解析的手法を用いて、水等の流れと物体に加えられる圧力との関係がどのような特性曲線の傾向を示すかについて調査しておく必要がある。第1特性曲線及び第2特性曲線は、微少な流入角度の変化でも大きくかつ単調に変化する傾向（例えば、流入角度の変化に対してほぼ直線的に変化し、かつその勾配が大きいこと）にあることが望ましい。10

【 0 0 2 6 】

特性曲線の傾向の良否は、実船で計測される流入角度及び対水船速 U の精度に影響を与えるため、望ましい特性曲線となるような圧力センサの配置（最適配置）を予め検討しておく必要がある。圧力センサの最適配置については、上記したように、第1特性曲線及び第2特性曲線の傾向が流入角度の変化に対してほぼ直線的に変化し、かつその勾配が大きいことが望ましいので、例えば、ヘス・スミス（Hess & Smith）法を用いた事前の計算でそのような位置を探索しておくことが望ましく、それが満たされた位置が最適な配置位置となる。圧力センサの最適な配置位置は、船舶の形状ごとに異なるので、一般的な数値として喫水線から何mの深さで左右の配置位置は船体中心線から何m離れたところと限定することはできない。また、距離が離れていても平行な位置関係に配置したのでは特性曲線の傾向が良好とはならないので、各圧力センサの配置位置の法線がなるべく大きな角度で交差するように各圧力センサを配置したほうが良い。ここで、ヘス・スミス（Hess & Smith）法とは、流体力学において、流れの中に物体が存在するとき、その物体が流れを排除する効果を流体力学的特異点の1つである吹き出し分布で置き換え、この強さを数値解析で求めることにより、流れを解析する方法である。20

【 0 0 2 7 】

次に、この例の船速測定装置を実船に実装した場合の対水船速 U 及び流入角度の測定について、図5に示すフローチャートを参照して説明する。その船首水面下の船体外板表面に図2に示すように圧力センサ $P_1 \sim P_3$ が最適配置位置に配置された実船を海上等において航走させる。これにより、圧力センサ $P_1 \sim P_3$ から圧力計測値 P_{1c} 、 P_{2c} 及び P_{3c} が供給されるので、制御部2は、記憶部3の所定の記憶領域に記憶するとともに、表示部4に表示する。また、制御部2は、図示せぬ密度計により計測された水密度が供給され、記憶部3の所定の記憶領域に記憶するとともに、例えば、ブリッジに設置された表示部4に表示する（ステップSP11）。なお、水密度は、計測された水温や塩水濃度から換算した値であっても良いし、検査者が操作部5を操作して入力しても良い。30

【 0 0 2 8 】

次に、制御部2は、記憶部3の所定の記憶領域から圧力計測値 P_{1c} 、 P_{2c} 及び P_{3c} を読み出し、値 $(P_{1c} - P_{3c}) / (P_{2c} - P_{3c})$ を算出した後、記憶部3の所定の記憶領域に記憶する（ステップSP12）。次に、制御部2は、記憶部3の所定の記憶領域から値 $(P_{1c} - P_{3c}) / (P_{2c} - P_{3c})$ と、第1特性曲線とを読み出し、図4に示すように、値 $(P_{1c} - P_{3c}) / (P_{2c} - P_{3c})$ を取るときの第1特性曲線における流入角度を求めた後、記憶部3の所定の記憶領域に記憶するとともに、表示部4に表示する（ステップSP13）。40

【 0 0 2 9 】

次に、制御部2は、記憶部3の所定の記憶領域から値と、第2特性曲線とを読み出し、図4に示すように、値を取るときの第2特性曲線における値 $(P_{1c} - P_{3c}) / U^2$ （これを値Aとする。）を求めた後、記憶部3の所定の記憶領域に記憶する（ステップSP14）。値 $(P_{1c} - P_{3c}) / U^2$ と値Aとは等しいので、（式1）が成り立つ。次に、制御部2は、記憶部3の所定の記憶領域から圧力計測値 P_{1c} 及び P_{3c} と、水密度とを読み出し、（式1）を変形した（式2）に代入することにより、対水船速 U を算出した後、一連の処理を終了する。50

理を終了する(ステップS P 1 5)。

$$(P_c - P_s) / U^2 = A \quad \dots \text{ (式1)}$$

$$U = \{ A / (P_c - P_s) \}^{1/2} \quad \dots \text{ (式2)}$$

【0030】

このように、この実施の形態では、圧力センサ1₁を船首水面下のほぼ船体中心線上の船体外板表面に配置し、圧力センサ1₂及び1₃はそれぞれ船首水面下の左舷及び右舷の船体中心線からほぼ等間隔となる船体外板表面に配置するとともに、第1特性曲線及び第2特性曲線を模型を使った水槽試験で求め求め、実船に実装した場合には、圧力センサ1₁～1₃からの圧力計測値P_c、P_s及びP₁と、密度計からの水密度と、上記第1特性曲線及び第2特性曲線とに基づいて、船舶が航走している際の対水船速U及び流入角度を算出している。上記第1特性曲線及び第2特性曲線を模型船を使った水槽試験で精度良く作成することができるので、これに基づく実船における対水船速U及び流入角度も精度良く算出することができる。10

【0031】

なお、上記の説明では、第1特性曲線及び第2特性曲線を模型を使った水槽試験で求める例を示したが、本発明はこれに限定するものではない。例えば、第1特性曲線及び第2特性曲線を数値解析手法を用いた理論計算により求めて良い。数値解析手法としては、例えば、ポテンシャル流理論に基づく上記したヘス・スミス(Hess & Smith)法や、流れの運動方程式を数値的に解く数値流体力学(CFD; Computational Fluid Dynamics)シミュレーションがある。また第1特性曲線及び第2特性曲線の式の形式も前述のものに限る必要はなく、20、Uが精度良く求まる形になっていれば良い。

【0032】

以上の説明により圧力センサ(圧力計)の測定値を用いることにより対水船速の測定が可能であることが明らかになったところで、次に、圧力センサ(圧力計)の測定値に基づいて波スペクトル等(波浪特性)を求める波浪特性測定装置の実施形態を、実施形態2～4として説明する。

【0033】

実施形態2.

図6は本発明の実施形態2に係る波浪特性測定装置の演算処理の過程を示したフローチャートであり、図7はその説明図である。なお、波浪特性測定装置の構成は図1に示されたものと基本的に同一であり、本実施形態2では図1の船速測定装置に上下加速度計6が付加されたものが、波浪特性測定装置として用いられる。そして、制御部2が後述の各演算を行う(このことは後述の実施形態3、4においても同様である。)30

【0034】

ここで、対水船速を計測した部位(圧力センサ1₁の位置)Pによる計測圧力をp(t)とする。ここで(t)は時間変動値であることを表す。圧力値がほぼ水頭に等しいとみなすと、相対水位変動Z_r(t)は次の(式3)で求められる。

【0035】

【数3】

$$Z_r(t) = p(t) / \rho g \quad (\text{式3})$$

【0036】

また、部位Pの位置における上下変位Z_p(t)は、上下加速度計6により計測される上下加速度を2回積分して、次の(式4)により求められる。

【0037】

【数4】

$$Z_p(t) = \int \ddot{z} dt dt \quad (\text{式 } 4)$$

【0038】

また、部位Pの水面からの高さを h_0 とすると、相対水位変動 $Z_r(t)$ と絶対水位変動 $Z_p(t)$ との間には次の(式5)の関係があるので、相対水位変動 $Z_r(t)$ 、高さ h_0 及び上下変位 $\zeta(t)$ から(式6)のように絶対水位変動 $Z_p(t)$ を求めることができる。 h_0 は、喫水及び部位Pの船底からの取り付け高さが分かっているので、両者の差より求めることができる。 10

【0039】

【数5】

$$Z_r(t) = h_0 + \{\zeta(t) - Z_p(t)\} \quad (\text{式 } 5)$$

【数6】

$$\zeta(t) = Z_r(t) + Z_p(t) - h_0 = p(t)/\rho g + Z_p(t) - h_0 \quad (\text{式 } 6)$$

【0040】

ここで得られた絶対水位変動 $Z_p(t)$ は、パワースペクトル演算により出会い波スペクトル $S(\omega)$ に変換される。パワースペクトル演算にはBlackman Tukey法、FFT法、MEM法など種々の方法が提案され用いられているが、例えば次の(式7)に示すように、

【0041】

【数7】

$$C(\tau) = \lim_{T \rightarrow \infty} \frac{1}{T} \int_{-T/2}^{T/2} \zeta(t) \zeta(t + \tau) dt \quad (\text{式 } 7)$$

【0042】

により自己相関関数 $C(\tau)$ を求め、そのフーリエ変換を行うことにより出会い波スペクトル $S(\omega)$ を求めることができる。

【0043】

【数8】

$$S(\omega_e) = \frac{1}{\pi} \int_{-\infty}^{\infty} C(\tau) \exp[-i\omega_e \tau] d\tau \quad (\text{式 } 8)$$

【0044】

さらに以下の演算により波スペクトル $S(\omega)$ に変換される。

【0045】

【数9】

$$S(\omega) = \sqrt{1 + \frac{4|U \cos \chi|}{g}} \omega_e \cdot S(\omega_e) \quad (\text{式 } 9)$$

【0046】

出会い波周波数 ω_e と波周波数 ω の関係は次のように与えられる。

【数10】

10

$$\omega_e = |\omega + KU \cos \chi| \quad (\text{式 } 10)$$

【数11】

$$\omega = \sqrt{gK} \quad (\text{式 } 11)$$

【数12】

20

$$K = 2\pi/\lambda \quad (\text{式 } 12)$$

【0047】

ここで、 U は船速であり上記の実施形態1に示された対水船速測定により計測される。また λ は波長、 χ は船と波との出会い角である。この波出会い角 χ は、船首正面から入射する時を $\chi=0^\circ$ として、斜め方向から入射する時の角度である。例えば横波が $\chi=90^\circ$ 、追波が $\chi=180^\circ$ となる。この波出会い角 χ は例えば、船上で目視観察によって確定する、船上のレーダー画像を画像処理することによって波向きを求める、気圧配置 / 風速・風向分布から、波浪推算によって波向きを推定する、等の方法により別途求めるものとする。

30

【0048】

求められた波スペクトルより、遭遇波浪の有義波高 H 、平均波周期 T は(式13)により求められる。

【0049】

【数13】

$$H = 4\sqrt{m_0}, T = 2\pi m_0/m_1 \quad (\text{式 } 13)$$

【数14】

$$m_k = \int_0^{\infty} \omega^k S(\omega) d\omega \quad (\text{式 } 14)$$

【0050】

実施形態3.

図8は本発明の実施形態3に係る波浪特性測定装置の演算処理の過程を示したフローチ

50

ヤートである。なお、波浪特性測定装置の構成は図1に示されたものと同一である。上記の実施形態2の場合と同様に、部位Pにおける計測圧力より圧力変動p(t)を求め、この圧力p(t)に対してパワースペクトル演算を行うことにより、船体動揺の影響を含めた圧力のスペクトルS_p(ω_e)を求める。この圧力のスペクトルS_p(ω_e)より、出会い波のスペクトルは次式で求めることができる。

【0051】

【数15】

$$S(\omega_e) = S_p(\omega_e) / |H_p(\omega_e; U, \chi)|^2 \quad (\text{式 } 15)$$

【0052】

ここに、H_p(ω_e; U, χ)は圧力計位置における圧力の周波数応答関数であり、船速U及び波出会い角χをパラメータとして理論計算あるいは模型試験により求めることができる。現実的には事前にいくつかの船速及び波出会い角波をパラメータとして圧力周波数応答関数をデータベースとして準備しておき、実際の船速、波向で補間して求めるのが好ましい。実際の船速は本装置から求まる対水船速を用い、波出会い角については上記の実施形態2と同様に何らかの方法により求める。得られた出会い波スペクトルから波スペクトルを求め、それより遭遇波浪の有義波高、平均波周期等の波浪パラメータを求める手法については、上記の実施の形態2と同様である。本実施形態3では、船体動揺影響を除去するための上下加速度計の設置が不要となる。

20

【0053】

実施形態4.

図9は本発明の実施形態4に係る波浪特性測定装置の演算処理の過程を示したフローチャートであり、図10はその説明図である。本実施形態4では、対水流速計の圧力計（船首に設置）及びそこから十分に離れた距離に設置した圧力計（例えば船体中央部付近の左右舷に設置）のそれぞれ（合計三箇所以上）の圧力変動計測値を用いて、波スペクトルを求める。いま、圧力計をP₁, P₂, P_MのM箇所に設置するものとして、それぞれの圧力計で計測される圧力変動をp_m(t), m=1, 2, Mとする。これらの圧力変動計測値より、クロススペクトル演算により圧力のクロススペクトルS_{mn}(ω_e), m, n = 1, 2, Mを求める。クロススペクトルS_{mn}(ω_e)と方向波スペクトルE(ω_e, χ)との間には次の関係がある。

30

【0054】

【数16】

$$S_{mn}(\omega_e) = \int_{-\pi}^{\pi} H_{pm}(\omega_e, \chi) H_{pn}^*(\omega_e, \chi) E(\omega_e, \chi) d\chi \quad (\text{式 } 16)$$

【0055】

ここに、H_{pm}(ω_e, χ)は圧力計mにおける圧力周波数応答関数であり、上記の実施形態3と同様に船速Vと波出会い角χをパラメータとして求めることができる。またH_{pn}(ω_e, χ)はH_{pm}(ω_e, χ)の共役複素数である。上記の（式16）の関係を用いると、クロススペクトルS_{mn}(ω_e)より出会いの方向波スペクトルE(ω_e, χ)を求めることができる。この解析には、従来パラメータ法、拡張最大エントロピー法、拡張最尤法、ベイズ法、非線形計画法等の各種手法が提案されている。上述の（式16）はその一例である。また、出会いの方向波スペクトルE(ω_e, χ)から方向波スペクトルE(ω_e, χ)は（式9）を用いて求めることができる。求められた方向波スペクトルE(ω_e, χ)は波向成分を含んでいることから、波出会い角の主方向を求めることができる。また、この方向波スペ

50

クトルより、遭遇波浪の有義波高H、平均波周期Tは(式13)を用いて求めることができる。但し、この場合には、

【0056】

【数17】

$$m_k = \int_{-\pi}^{\pi} \int_0^{\infty} \omega^k E(\omega, \chi) d\omega d\chi \quad (\text{式17})$$

である。この演算方法では、船体動搖影響を除去するための上下加速度計6の設置が不要 10 になる。また、波出会い角も自動的に求めることができる。

【0057】

なお、本実施形態4の場合には、対水流速計用の船首圧力計以外に、船体中央部付近に圧力計を追設する必要があるが、追加の圧力計位置と船首圧力計位置との距離は、遭遇波浪の波長の解像精度から特定すればよい。また、船体中央部付近に設置する場合には、船体中央部には既設の、喫水計として使用されている圧力計で計測されるデータを使用することも可能である。

【図面の簡単な説明】

【0058】

【図1】本発明の実施の形態1である船速測定装置の構成を示すブロック図である。 20

【図2】圧力センサの配置の一例を示す概念図である。

【図3】制御部の特性曲線作成処理を説明するためのフローチャートである。

【図4】特性曲線の一例を示す図である。

【図5】制御部の船速測定処理を説明するためのフローチャートである。

【図6】本発明の実施形態2に係る波浪特性測定装置の演算処理の過程を示したフローチャートである。

【図7】本発明の実施形態2の説明図である。

【図8】本発明の実施形態3に係る波浪特性測定装置の演算処理の過程を示したフローチャートである。

【図9】本発明の実施形態4に係る波浪特性測定装置の演算処理の過程を示したフローチ 30 ャートである。

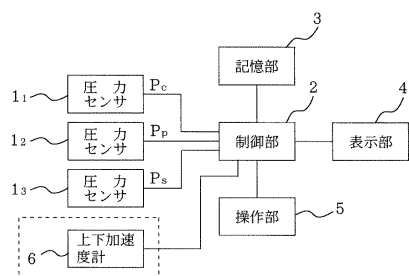
【図10】本発明の実施形態4の説明図である。

【符号の説明】

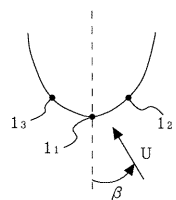
【0059】

11~13 圧力センサ、2 制御部、3 記憶部、4 表示部、5 操作部、6 上下 加速度計。

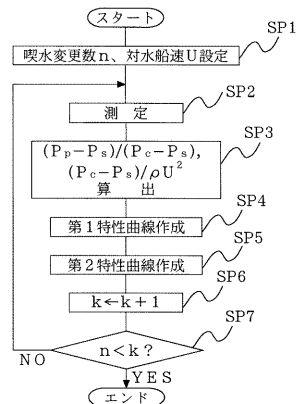
【図 1】



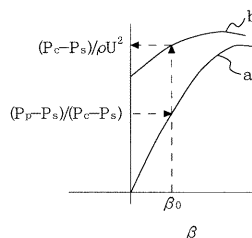
【図 2】



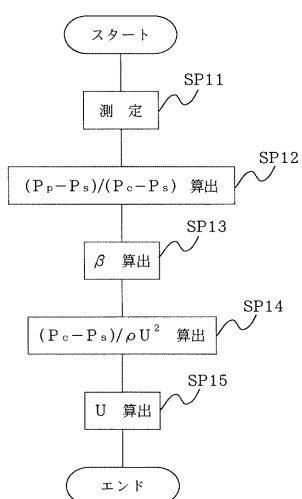
【図 3】



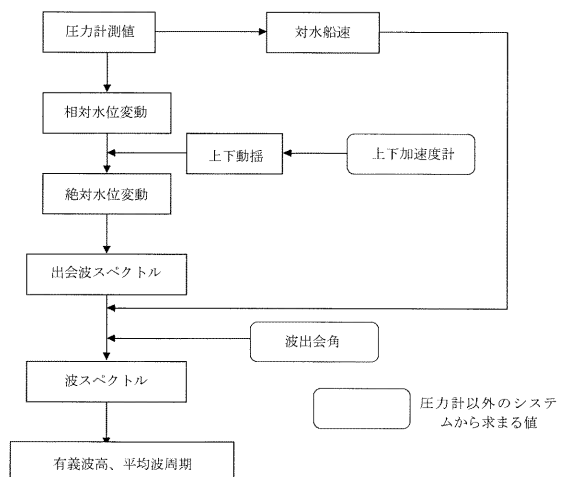
【図 4】



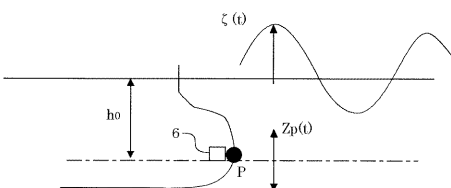
【図 5】



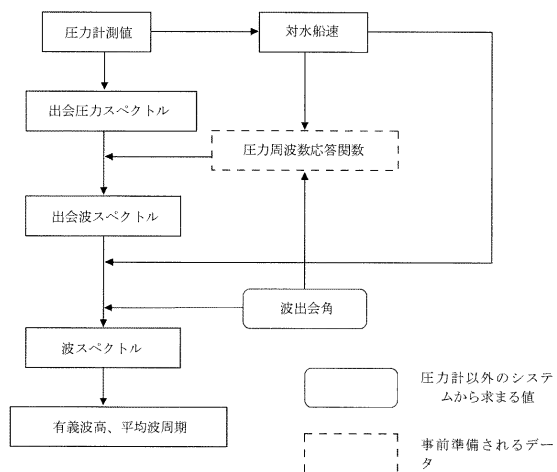
【図 6】



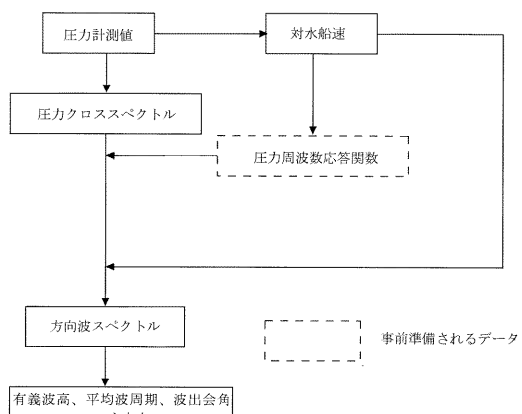
【図 7】



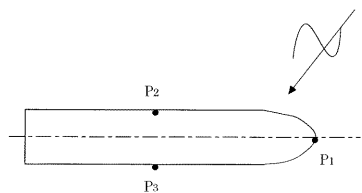
【図 8】



【図 9】



【図 10】



フロントページの続き

(74)代理人 100087620

弁理士 高梨 範夫

(72)発明者 松本 光一郎

神奈川県川崎市幸区大宮町1310番地 ユニバーサル造船株式会社内

(72)発明者 辻本 勝

東京都三鷹市新川6丁目38番1号 独立行政法人海上技術安全研究所内

(72)発明者 長浜 光泰

神奈川県川崎市幸区大宮町1310番地 ユニバーサル造船株式会社内

(72)発明者 田中 寿夫

神奈川県川崎市幸区大宮町1310番地 ユニバーサル造船株式会社内

審査官 須中 栄治

(56)参考文献 特開平06-273198(JP, A)

特開昭61-161413(JP, A)

特開2002-013923(JP, A)

特開昭61-254814(JP, A)

特開昭62-217113(JP, A)

(58)調査した分野(Int.Cl., DB名)

G01C13/00

G01D18/00 - 21/02

B63B39/00